

Soit  $E$  un  $\mathbb{R}$ -espace vectoriel normé de dimension finie.

Déf 1: Soit  $h \in \mathbb{N}^*$ . Une suite  $(u_n)$  à valeurs dans  $E$  est dite récurrente d'ordre  $h$  si on peut écrire :

$$\forall n \geq h \quad u_n = f(u_{n-1}, \dots, u_{n-h})$$

où  $f$  est une application de  $\Omega$  dans  $E$ , où  $\Omega \subseteq E^h$

Rém 2: La suite  $(u_n)$  est bien définie si :

$$\forall n \geq h \quad f(u_{n-1}, \dots, u_{n-h}) \in \Omega$$

Ex 3: Soit :  $f: x \mapsto \frac{1}{x-2}$  avec  $E = \mathbb{R}$ ,  $\Omega = \mathbb{R} \setminus \{2\}$ .

La suite :  $u_{n+1} = f(u_n)$  est mal définie pour  $u_0 = \frac{12}{5}$  :  
 $u_1 = \frac{5}{2}$ ,  $u_2 = 2 \notin \Omega$

## I Propriétés élémentaires [Gou]

Pr 4: Soit  $(u_n)$  une suite récurrente d'ordre  $h \in \mathbb{N}^*$ , telle que :  
 $\forall n \geq h \quad u_n = f(u_{n-1}, \dots, u_{n-h})$  où  $f: E^h \rightarrow E$ .

Si :  $\lim_{n \rightarrow \infty} u_n = l$  et si  $f$  est continue en  $(l, \dots, l)$ ,

$$\text{Alors : } l = f(l, \dots, l)$$

### - Exemples élémentaires

Ex 5: Si il existe  $a \in E$  tq :  $\forall n \in \mathbb{N} \quad u_{n+1} = u_n + a$   
 Alors :  $\forall n \in \mathbb{N} \quad u_n = u_0 + na$ .

On dit que  $(u_n)$  est une suite arithmétique de raison  $a$ .

Ex 6: Si il existe  $q \in E$  tq :  $\forall n \in \mathbb{N} \quad u_{n+1} = q u_n$   
 Alors :  $\forall n \in \mathbb{N} \quad u_n = q^n u_0$

On dit que  $(u_n)$  est une suite géométrique de raison  $q$ .

Si  $|q| > 1$  :  $(u_n)$  diverge ; si  $|q| < 1$  :  $(u_n)$  converge.

Ex 7: Si il existe  $q, r \in E$  tq :  $\forall n \in \mathbb{N} \quad u_{n+1} = q u_n + r$   
 Alors :  $\forall n \in \mathbb{N} \quad u_n = q^n u_0 + r \sum_{k=0}^{n-1} q^k$

On dit que  $(u_n)$  est une suite arithmético-géométrique.

Ex 8: Soit  $h: \mathbb{C} \rightarrow \mathbb{C}$  tq :  $x \mapsto \frac{ax+b}{cx+d}$  avec  $a, b, c, d \in \mathbb{C}$  tq  $ad - bc \neq 0$

Si  $\forall n \in \mathbb{N} \quad u_{n+1} = h(u_n)$  on dit que  $(u_n)$  est une suite récurrente homographique.

### - Suites en dimension 1 ie $E = \mathbb{R}$

Pr 9: Soit  $I$  un intervalle de  $\mathbb{R}$ ,  $f: I \rightarrow \mathbb{R}$  tq  $f'(I) \subset I$ ,  
 Soit  $(u_n)$  une suite vérifiant :  $u_0 \in I$ ,  $\forall n \in \mathbb{N} \quad u_{n+1} = f(u_n)$

\* Si  $f$  est croissante, la suite  $(u_n)$  est monotone.

\* Si  $f$  est décroissante, les suites extraites  $(u_{2n})$  et  $(u_{2n+1})$  sont monotones. D'autre part, l'une est croissante et l'autre est décroissante.  
cf dessins en annexe

Pr 10: Lemme de la grenouille [Ex-ENS] ou [Pom]

Soit  $I$  un intervalle compact de  $\mathbb{R}$ , et  $f: I \rightarrow I$  continue,  
 et la suite définie par  $u_{n+1} = f(u_n)$

$(u_n)$  converge ssi  $\lim_{n \rightarrow \infty} (u_{n+1} - u_n) = 0$

D/Pn 11: Dichotomie. [sans référence]

Soit  $[a, b]$  un intervalle de  $\mathbb{R}$ ,  $f: [a, b] \rightarrow \mathbb{R}$  strictement croissante  
 telle que  $f(a) < 0$  et  $f(b) > 0$ ,  $f$  continue.

On choisit  $\alpha_0 = a$ ,  $\beta_0 = b$ ,  $u_0 = \frac{a+b}{2}$ , et on définit :

$$\begin{cases} u_{n+1} \\ \alpha_{n+1} \\ \beta_{n+1} \end{cases} = \begin{cases} \frac{\alpha_n + u_n}{2} \\ \alpha_n \\ u_n \\ \beta_n \end{cases} \quad \text{si } f(\alpha_n) f(u_n) < 0 \\ = \begin{cases} \frac{u_n + \beta_n}{2} \\ u_n \\ \alpha_n \\ \beta_n \end{cases} \quad \text{s sinon}$$



Alors la suite  $(u_n)$  converge vers la solution de l'équation  $f(x) = 0$   
que 11.5: La convergence est lente! Si c'est la limite, on a  $|u_n - l| \leq \frac{|a-b|}{2^n}$ .

### II Points fixes et vitesse de convergence

#### - Résultats théoriques

Th 12: du point fixe de Picard [Rou]

Soit  $f$  une application de  $E$  dans  $E$  contractante ie

$$\exists K \in [0, 1[ \quad \forall x, y \in E \quad d(f(x), f(y)) \leq K d(x, y)$$

Alors :  $\exists ! a \in E$  tq  $f(a) = a$

D'autre part,  $a$  est la limite de la suite définie par  $u_{n+1} = f(x_n)$ :  
 $\forall n \in \mathbb{N}^*$   $d(x_n, a) \leq \frac{k^n}{1-k} d(x_0, x_1)$  pour tout  $x_0 \in E$ .

Rém 13: l'hypothèse  $f$  contractante peut-être remplacée par l'hypothèse :  $\exists n \in \mathbb{N}^*$  tq  $f^n$  contractante, où  $f^n = f \circ \dots \circ f$

Déf 15: Soient  $I \subset \mathbb{R}$ ,  $f : I \rightarrow I$  de classe  $C^1$ ,  $a \in I$  un point fixe de  $f$ .

- \* Si  $|f'(a)| < 1$  :  $a$  est un point fixe attractif de  $f$ . [Dem]
- \* Si  $|f'(a)| = 0$  :  $a$  est un point fixe hyper-attractif de  $f$ .
- \* Si  $|f'(a)| > 1$  :  $a$  est un point fixe repulsif de  $f$ .

Ex 16: Le point fixe obtenu dans le théorème 12 est attractif.

P 17: Si  $a$  est attractif, il existe un voisinage de  $a$  dans lequel la suite  $(u_n = f^n(x))_n$  converge vers  $a$  de façon au moins exponentiellement rapide :  $|u_n - a| \leq K^n |u_0 - a|$  où  $K < 1$ .

- \* Si  $a$  est superattractif : on a le même résultat avec une vitesse de convergence encore plus rapide.
- \* Si  $a$  est répulsif, il existe un voisinage de  $a$  dans lequel :  $|f(x) - a| > |x - a|$ . cf dessins en annexe

Rém 18: Si  $|f'(a)| = 1$ , on ne peut pas conclure quant à la convergence de  $(u_n = f^n(x_0))_n$  :  $x \mapsto \sin x$  admet un point fixe attractif en 0.  
 $x \mapsto \sinh x$  admet un point fixe répulsif en 0.

Déf 19: Soit  $\Omega \subset \mathbb{R}^n$ ,  $f : \Omega \rightarrow \mathbb{R}^n$ ,  $a$  un point fixe de  $f$ . On suppose  $f$  différentiable en  $a$ .

- \* Si  $\rho(\text{d}af) < 1$  :  $a$  est un point fixe attractif.
- \* Si  $\rho(\text{d}af) = 0$  :  $a$  est un point fixe super-attractif.

Rém 20: En étudiant plus précisément  $f$ , on peut obtenir des vitesses de convergence plus précises [Don].

- \* Si  $\exists K, N \in \mathbb{N}^*$  tq :  $\forall x \in \mathbb{R}^n$   $f(x) \leq Kx$  alors  $u_n = O(K^n)$
- \* Si  $\exists \alpha, \delta > 0$  tq :  $f(x) = x - \alpha x^{\alpha+1} + o(x^{\alpha+1})$  alors  $u_n \sim (\alpha x^\alpha)^{\frac{1}{\alpha}}$

ex 20.5:  $\sin(x) = x - \frac{1}{6}x^3 + o(x^3) \Rightarrow \sin u_{n+1} = \sin u_n$  pour  $u_0$  proche de 0, alors  $u_n \sim \left(\frac{1}{6}u_0^2\right)^{\frac{1}{2}}$

### - Approximation de solution de $f(x)=0$

Pour résoudre  $f(x)=0$ , on transforme l'équation en un problème de point fixe :

$F(x) = x$  en prenant  $F(x) = x + \lambda(x) f(x)$ , où  $\lambda$  ne s'annule pas.

La suite  $(x_{n+1} = F(x_n))_n$  converge vers le point fixe  $a$  si  $F'(a) = 0$ . On pose donc  $\lambda(a) = -\frac{f'(a)}{f''(a)}$

Th 21: Méthode de Newton :  $x_{n+1} = x_n - \frac{f(x_n)}{f'(x_n)}$  [Rou]

Soit  $f : [c, d] \rightarrow \mathbb{R}$   $C^2$ , tq  $f(c) < 0 < f(d)$  et  $\forall x \in [c, d] : f'(x) > 0$ .  
cf dessins en annexe

- \* Si  $x_0 \in [c, d]$  alors  $(x_n)_n$  converge vers  $a$  de façon quadratique.
- \* Si  $f'' > 0$  sur  $[c, d]$ , alors  $(x_n)_n$  est monotone et  $x_{n+1} - a \sim \frac{1}{2} \frac{f''(a)}{f'(a)} (x_n - a)^2$

Rém 22: Si  $f$  n'est pas dérivable, on peut remplacer  $f'$  par un taux d'accroissement :  $x_{p+1} = x_p - \frac{f(x_p) - f(x_{p-1})}{x_p - x_{p-1}}$  où  $x_p = \frac{f(x_p) - f(x_{p-1})}{x_p - x_{p-1}}$

C'est la méthode de la sécante, dont l'ordre de convergence est  $\sqrt{2}$ . (dans)

Application 21.5: A partir de la méthode de Newton, on peut donner une version effective de la décomposition de Jordan-Chevalley. cf fin page 3

### II Suites récurrentes linéaires

#### - Résultats théoriques [Gou]

Déf 23: On dit qu'une suite  $(u_n)$  vérifie une récurrence linéaire d'ordre  $n \in \mathbb{N}^*$  à coefficients constants si :

$$\forall n \in \mathbb{N} : u_{n+1} = \sum_{i=0}^{n-1} a_i u_{n+i} \quad \text{où } a_i \in \mathbb{C}.$$

Pr 24: On pose  $X_n = \begin{pmatrix} u_0 \\ u_1 \\ \vdots \\ u_{n-1} \end{pmatrix}$

Alors  $X_{n+1} = AX_n$  où  $A$  est la matrice compagnon du polynôme :  $P(X) = X^n + \sum_{i=0}^{n-1} a_i X^i$ .

Pr 25:  $\{(u_n)_n / u_{n+1} = \sum_{i=0}^{n-1} a_i u_{n+i}\}$  est un espace vectoriel de dimension  $n$ .

#### Ex 26: Suite de Fibonacci

Pr 26.1:  $u_{n+2} = u_{n+1} + u_n$ ;  $u_0 = u_1 = 1$ .

On pose  $X_n = \begin{pmatrix} u_n \\ u_{n+1} \end{pmatrix}$ . Alors  $X_{n+1} = \begin{pmatrix} 0 & 1 \\ 1 & 1 \end{pmatrix} X_n$

→ Tout le jeu est de calculer  $A^n$ , puisque  $X_n = A^n X_0$ .

Intervalle 27: Étant donné les premiers termes d'une suite récurrente linéaire dont le polynôme associé est de degré au plus  $d$ , comment déterminer ledit polynôme ? (Notons- $\ell$  le  $P$ , et  $(U_n)$  la suite).

L'algorithme de Berlekamp-Massey: On résout l'équation

$$\frac{Q}{R} \equiv S_{2d} \text{ modulo } X^{2d} \text{ où } S_{2d}(X) = \sum_{i=0}^{2d-1} U_i X^i, \deg(Q) < d, \deg(R) \leq d$$

et  $\text{PGCD}(Q, R) = 1$ . Alors  $P$  est le polynôme réciproque de  $R$ . [AECF]

Appli 27.5: Calcul du terme général lorsque  $A$  est une matrice creuse.

Méthode 28: si  $A$  est diagonalisable, alors  $A = P^{-1}DP$ .

Ainsi :  $\forall n \in \mathbb{N}$  on pose  $Y_n = P X_n$ , on a alors  $X_n = D^n Y_n$ .

Méthode 29: si  $A$  n'est pas diagonalisable, on utilise la décomposition de Jordan-Chevalley:  $A = D + N$  où  $D$  diagonalisable et  $N$  nilpotente

Appli 29.5: Si  $A$  est une matrice companion du polynôme  $P$ , on dira que  $P$  est le polynôme caractéristique de la récurrence linéaire associée. Dans le cas de la suite de Fibonacci:

### IV Algorithmes classiques de résolution approchée

#### - Résolution de systèmes linéaires

On cherche ici à résoudre l'équation  $Ax = b$   $A \in M_n(\mathbb{R})$ ,  $b \in \mathbb{R}^n$ .

On se placera dans un premier temps dans le cas où  $A \in S_n^{++}(\mathbb{R})$

Lem 30: La résolution de  $Ax = b$  revient à trouver le point qui minimise la fonctionnelle :  $y \rightarrow \frac{1}{2} \|y\|_2^2 - \langle y, b \rangle$

Def 31: Une méthode de gradient consiste à partir d'un point  $x_0 \in \mathbb{R}^n$ , et à construire la suite :  $x_{k+1} = x_k + t_k d_k$  où  $t_k$  est une direction à choisir dans  $\mathbb{R}^n$

Lemma 31.5: (Kantorovich) Si  $A \in S_n^{++}(\mathbb{R})$ , alors  $\forall c \in \mathbb{R}^n$ , on a  $\|c\|_2^2 \leq \langle Ax, c \rangle \leq \lambda_1^{-1} \left( \sqrt{\frac{\lambda_1}{\lambda_n}} + \sqrt{\frac{\lambda_1}{\lambda_n}} \right)^2 \|c\|_2^2$

Th/Def 32: Gradient à pas optimal

On pose  $x_{k+1} = x_k + t_k d_k$  où  $d_k = -\nabla f(x_k)$  et  $t_k$  est l'unique réel positif minimisant  $t \rightarrow f(x_k + t d_k)$  sur  $\mathbb{R}$ .  
Alors  $(x_k)$  converge vers  $x$  et on a l'estimateur d'erreur :

$$\|x_k - x\| \leq \sqrt{\frac{2(f(x_k) - f(x))}{\lambda_n}} \left( \frac{\text{Card}(A)-1}{\text{Card}(A)+1} \right)^k$$

Rem 33:  $\text{Card}(A) = \|A\|_2 \|A^{-1}\|_2 = \frac{\lambda_1}{\lambda_n}$

Th/Def 34: Gradient conjugué

On pose :  $x_k = \frac{\text{d}x}{\|d\|_2^2}$  avec  $r_k = b - Ax_k$

$$d_{k+1} = r_{k+1} - B_k d_k \text{ où } B_k = \begin{cases} \frac{\langle r_k, d_k \rangle}{\|d_k\|_2^2} & \text{si } d_k \neq 0 \\ 0 & \text{si } d_k = 0 \end{cases}$$

Alors  $(x_k)$  converge vers  $x$  en  $n$  étapes.

On résout l'équation  $Ax = b$  avec [AEGL<sub>n</sub>(R)]. [Cia]

On pose  $A = M - N$ ,  $M \in GL_n(\mathbb{R})$ ,  $N \in M_n(\mathbb{R})$ .

Th/Def 35: La méthode associée à  $(M, N)$  converge si :

$$\forall u \in \mathbb{R}^n : u_{k+1} = M^{-1}(N u_k + b) \text{ converge vers } x.$$

La méthode associée à  $(M, N)$  converge si :  $\rho(M^{-1}N) < 1$ .

\*Méthode de Jacobi: on pose  $A = D - E - F = \begin{pmatrix} D & \\ -E & F \end{pmatrix}$

On pose  $M = D$ ,  $N = D - A = E + F$ , si  $D$  inversible.

\*Méthode de Gauss-Seidel:

On pose  $M = D - E$ ,  $N = F$

#### - Schéma d'Euler [Dern.]

On cherche à construire une solution approchée de  $y = f(t, q)$ ; où  $f: U \rightarrow \mathbb{R}^m$  est  $U$  ouvert de  $\mathbb{R}^n$ ; sur un intervalle  $[t_0, t_0 + T]$ .

Th/Def 36: on se donne une subdivision  $t_0 < t_1 < \dots < t_m = t_0 + T$ , les pas sont notés :  $h_m = t_{m+1} - t_m$ .

On pose  $y_n = y(t_n)$ , et  $y(t) = y_n + (t - t_n) f(t_n, y_n)$   $t \in [t_n, t_{n+1}]$ .

Puis :  $\begin{cases} y_{n+1} = y_n + h_m f(t_n, y_n) \\ t_{n+1} = t_n + h_m \end{cases} \quad 0 \leq n \leq N-1$

\*Méthode de Newton-Raphson: Soit  $f: \Omega \rightarrow \mathbb{R}^m$   $\Omega$  ouvert ( $\Omega \subset \mathbb{R}^n$  est un ouvert) telle que  $\exists a \in \Omega / f(a) = 0$  et  $\text{d}f(a) \in GL_m(\mathbb{R})$ . Alors  $\exists$   $U$  voisinage de  $a$  dans  $\Omega$  tel que  $g: U \rightarrow \mathbb{R}^m$  est bien définie,  $a$  en est un point hyper-attractif et  $g(U) \subset U$ .

En particulier,  $\forall x \in U$ , la suite définie par  $\begin{cases} x_0 := x \\ x_{n+1} = g(x_n) \end{cases}$  est bien définie et converge quadratiquement vers  $a$ .

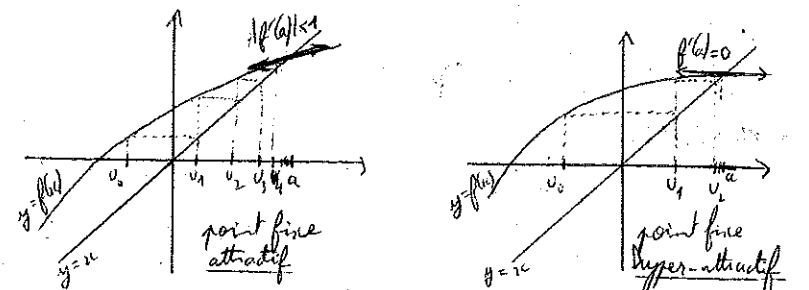
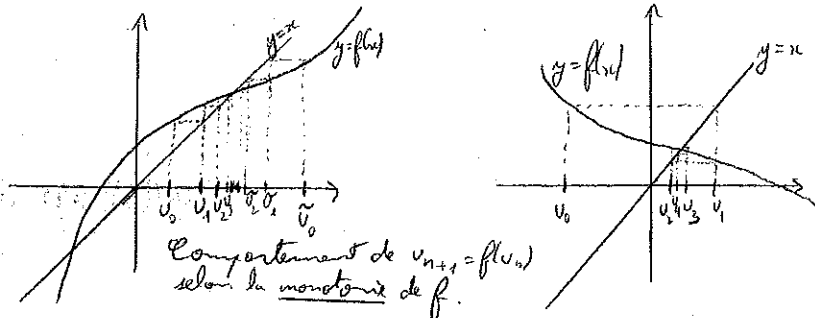
DEV II

DEV I

## References:

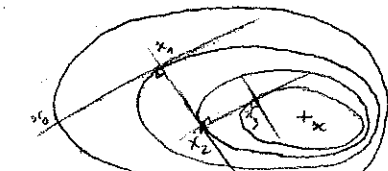
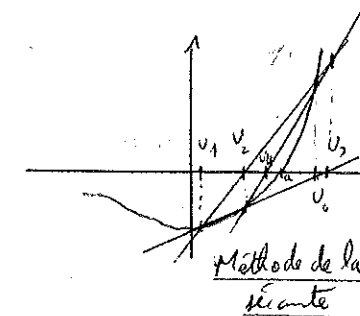
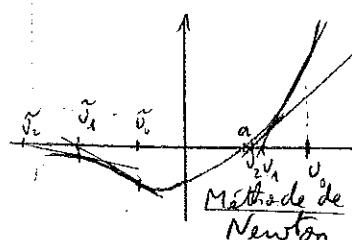
- [Gou] Goursat, Analyse
- [Rou] Rouvière, Petit guide de calcul différentiel
- [X-ENS] Chaire X-ENS, analyse 1
- [Pom] Pommaret, Cours d'analyse
- [Dor] Doulkhan, Sifre, Cours d'analyse
- [AECCF] Algorithmes efficaces en Calcul Formel (Poston, Alayachi, Giusti, Salvy et al.)
- [H-U] Hiriart-Urruty, Optimisation et analyse convexe
- [Cia] Ciarlet, Introduction à l'analyse numérique et à l'optimisation
- [Dem] Demmel, Analyse numérique d'équations différentielles

## ANNEXE

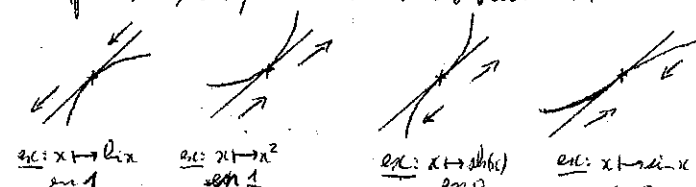


On aurait pu en parler :

- méthode de la puissance
- gradient à pas constant
- processus de Galton-Watson
- $\theta$ -système pour l'équation de la chaleur
- chaînes de Markov
- points  $n$ -périodiques, théorie de Sarkowski
- opérateurs hypercycliques



Gradient à pas optimal



**Méthode de Newton - Raphson.** Soit  $\Omega$  un ouvert de  $\mathbb{R}^n$  et soit  $f : \Omega \rightarrow \mathbb{R}^n$  de classe  $\mathcal{C}^2$ . On suppose qu'il existe  $a \in \Omega$  tel que  $f(a) = 0$  et  $d_a f \in \text{GL}_n(\mathbb{R})$ . Alors il existe un voisinage  $U$  de  $a$  telle que l'application  $g$ :  $\begin{cases} U \rightarrow \mathbb{R}^n \\ x \mapsto x - (d_a f)^{-1}(f(x)) \end{cases}$  soit bien définie et possède  $a$  comme point fixe superattractif.

En particulier, pour tout  $x \in U$ , la suite  $(u_n)_{n \in \mathbb{N}}$  définie par  $u_0 = x$  et  $u_{n+1} = g(u_n)$  converge quadratiquement vers  $a$ .

*Démonstration.* Le théorème d'inversion locale appliqué à  $f$  nous donne un voisinage  $V$  de  $a$  sur lequel  $f$  réalise un  $\mathcal{C}^2$ -difféomorphisme de  $V$  sur  $f(V)$ . On en déduit que pour tout  $x \in V$ ,  $d_x f$  est inversible donc  $g$  est bien définie sur  $V$ .

De plus,  $f(a) = 0$  par hypothèse, donc  $(d_a f)^{-1}(f(a)) = 0$  et  $g(a) = a$ . Il faut maintenant analyser le comportement local de  $g$  autour de  $a$  pour en savoir plus sur ce point fixe. Pour la suite, on se fixe  $h \in \mathbb{R}^n$  tel que  $a + h \in V$ .

On a  $g(a + h) = a + h - (d_{a+h} f)^{-1}(f(a + h))$ . Puisque  $f$  est  $\mathcal{C}^2$ , l'application  $x \mapsto d_x f$  est  $\mathcal{C}^1$  sur  $\Omega$ , et sa différentielle en  $x$  est l'application  $h \in \mathbb{R}^n \mapsto d_x^2 f(h, \cdot)$ . On en déduit, par linéarité de la différentielle, que  $d_{a+h} f = d_a f(id + (d_a f)^{-1} \circ d_a^2 f(h, \cdot) + o(\|h\|))$ . En utilisant l'identité  $(1 + h)^{-1} = 1 - h + o(\|h\|)$ , on trouve

$$(id + (d_a f)^{-1} \circ d_a^2 f(h, \cdot) + o(\|h\|))^{-1} = (id - (d_a f)^{-1} \circ d_a^2 f(h, \cdot) + o(\|h\|)),$$

et donc on obtient que

$$(d_{a+h} f)^{-1} = (id + (d_a f)^{-1} \circ d_a^2 f(h, \cdot) + o(\|h\|))^{-1} \circ (d_a f)^{-1} = (id - (d_a f)^{-1} \circ d_a^2 f(h, \cdot) + o(\|h\|)) \circ (d_a f)^{-1}.$$

Il nous reste à évaluer cette égalité en  $f(a + h)$ , mais avant cela remarquons que  $f(a + h) = f(a) + d_a f(h) + \frac{1}{2} d_a^2 f(h, h) + o(\|h\|^2)$ , donc par linéarité de  $d_a f$  et puisque  $f(a) = 0$ , on trouve que  $f(a + h) = d_a f(h + \frac{1}{2}(d_a f)^{-1} \circ d_a^2 f(h, h) + o(\|h\|^2))$ . Cette factorisation par  $d_a f$  permet de simplifier le calcul :

$$\begin{aligned} (d_{a+h} f)^{-1}(f(a + h)) &= (id - (d_a f)^{-1} \circ d_a^2 f(h, \cdot) + o(\|h\|)) \circ (d_a f)^{-1} \circ d_a f(h + \frac{1}{2}(d_a f)^{-1} \circ d_a^2 f(h, h) + o(\|h\|^2)) \\ &= (id - (d_a f)^{-1} \circ d_a^2 f(h, \cdot) + o(\|h\|)) \circ (h + \frac{1}{2}(d_a f)^{-1} \circ d_a^2 f(h, h) + o(\|h\|^2)) \\ &= h + \frac{1}{2}(d_a f)^{-1} \circ d_a^2 f(h, h) - (d_a f)^{-1} \circ d_a^2 f(h, h) + o(\|h\|^2) \\ &= h - \frac{1}{2}(d_a f)^{-1} \circ d_a^2 f(h, h) + o(\|h\|^2). \end{aligned}$$

On peut (enfin !) en déduire que  $g(a + h) = a + h - (h - \frac{1}{2}(d_a f)^{-1} \circ d_a^2 f(h, h) + o(\|h\|^2))$ , donc  $g(a + h) - g(a) = \frac{1}{2}(d_a f)^{-1} \circ d_a^2 f(h, h) + o(\|h\|^2)$ . En identifiant, on trouve donc que  $d_a g = 0$  et  $d_a^2 g = \frac{1}{2}(d_a f)^{-1} \circ d_a^2 f$ , ce qui implique que  $a$  est bien un point fixe hyper-attractif de  $g$ .

Ceci nous permet notamment de trouver un voisinage de  $a$  qui soit stable par  $g$ , et sur lequel la suite  $(u_n)_{n \in \mathbb{N}}$  sera donc bien définie. En effet, en notant  $M = |||(d_a f)^{-1}||| \cdot |||d_a^2 f|||$ , on a

$$\|g(a + h) - g(a)\| \leq \frac{1}{2} M \|h\|^2 + o(\|h\|^2) = \left( \frac{1}{2} M + o(1) \right) \|h\|^2.$$

Ainsi, il existe  $\eta > 0$  tel que la boule  $\mathcal{B}(a, \eta)$  soit incluse dans  $V$  et tel que  $\frac{1}{2} M + o(1) \leq \tilde{M} < \infty$  pour tout  $h \in \mathcal{B}(a, \eta)$ . En prenant  $\varepsilon < \min(\eta, \frac{1}{M})$ , on a pour tout  $x = a + h \in U := \mathcal{B}(a, \varepsilon)$ ,  $\|g(x) - g(a)\| < \varepsilon$ , donc  $g(U) \subset U$ .

On peut donc conclure que  $(u_n)_{n \in \mathbb{N}}$  est bien définie sur  $U$  et qu'elle converge quadratiquement vers  $a$ , puisque pour tout  $n \in \mathbb{N}$  :

$$\begin{aligned}
 \tilde{M} \|u_{n+1} - a\| &\leq (\tilde{M} \|u_n - a\|)^2 \\
 &\leq \dots \\
 &\leq (\tilde{M} \|u_0 - a\|)^{2^{(n+1)}} \text{ par récurrence}
 \end{aligned}$$

et  $\tilde{M} \|u_0 - a\| < 1$  car  $u_0 \in U$ , donc on a bien la convergence désirée.  $\square$

## Références

Jean-Pierre Demailly, *Analyse numérique et équations différentielles*, Springer, 2006, pages 110-111.